

FIG. 1



FIG. 2A

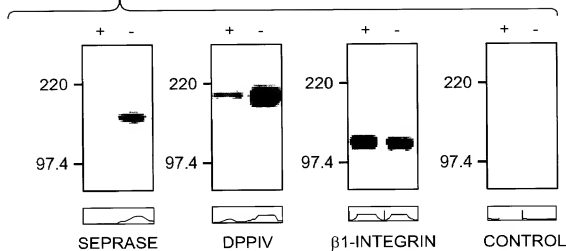


FIG. 2B

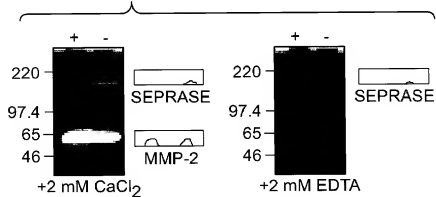


FIG. 2C

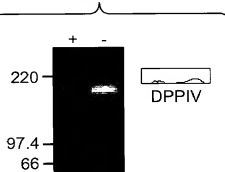


FIG. 2D

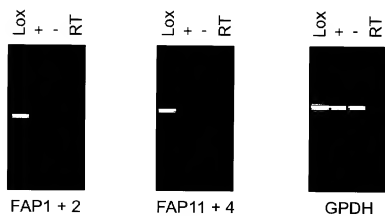


FIG. 2E

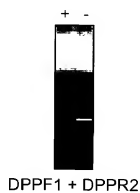


FIG. 2F

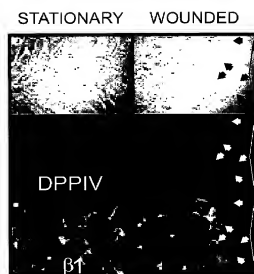
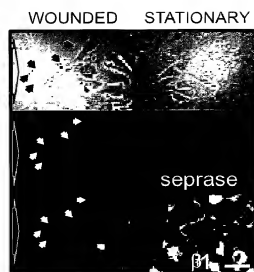


FIG. 2G



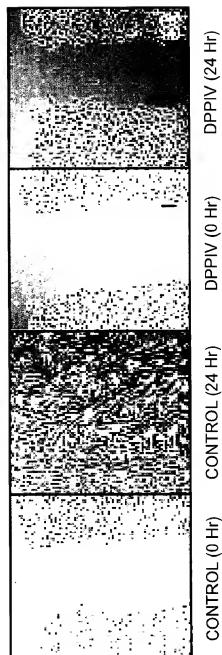


FIG. 2H

FIG. 2H-2252861

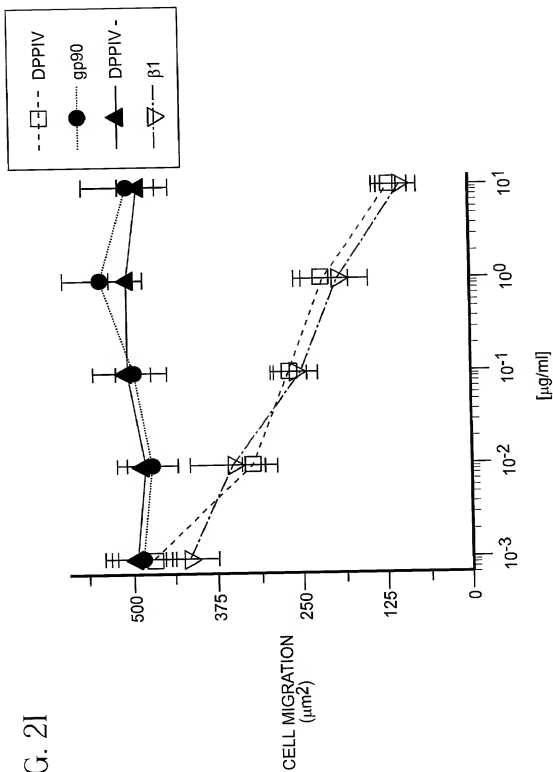
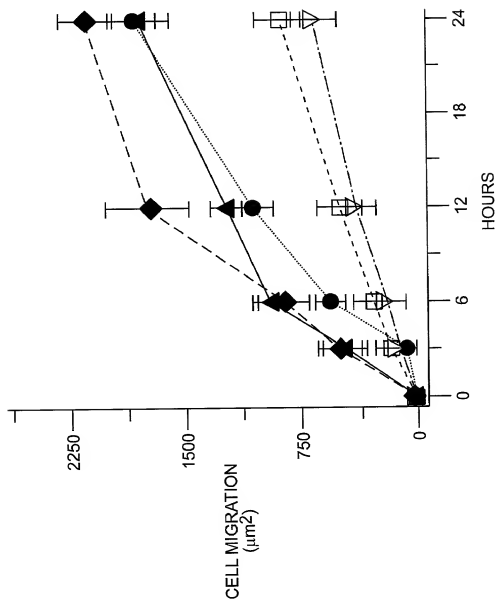


FIG. 2J



102280-2222860

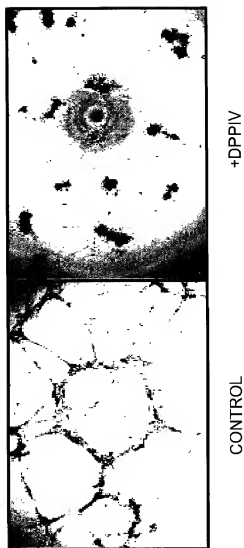


FIG. 3A

T02280" 22E2860

9/22

FIG. 3B

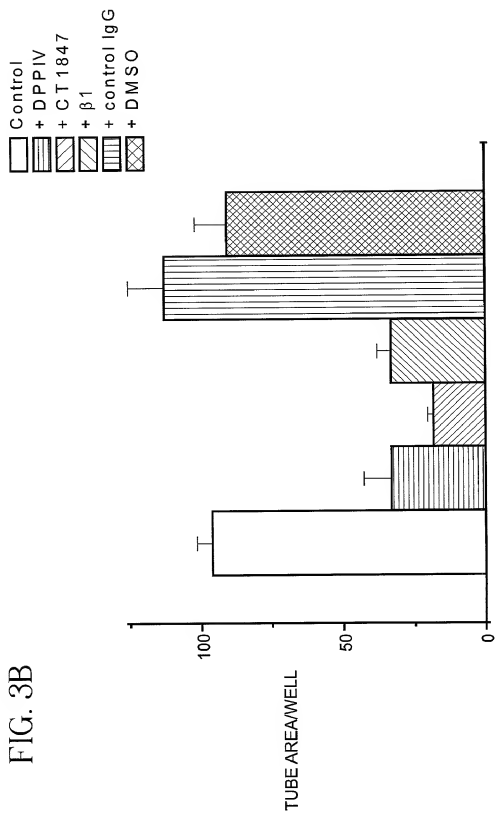


FIG. 3C

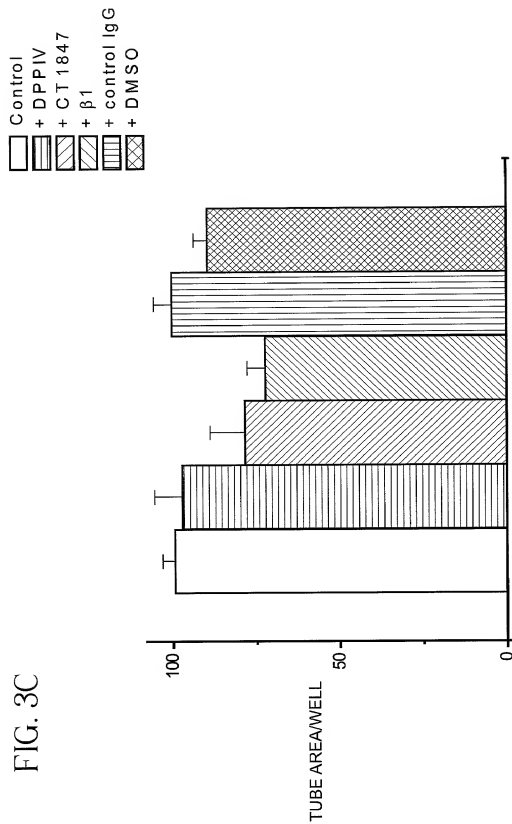


FIG. 3D



FIG. 4A

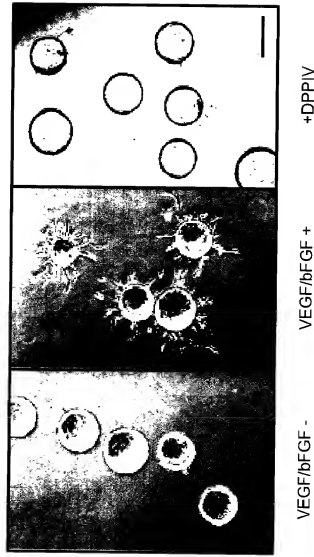


FIG. 4B

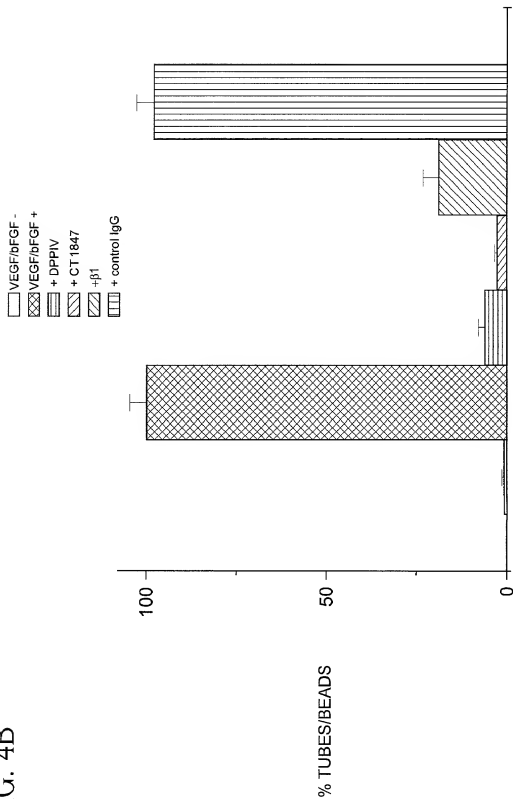


FIG. 5

## Experimental Procedure

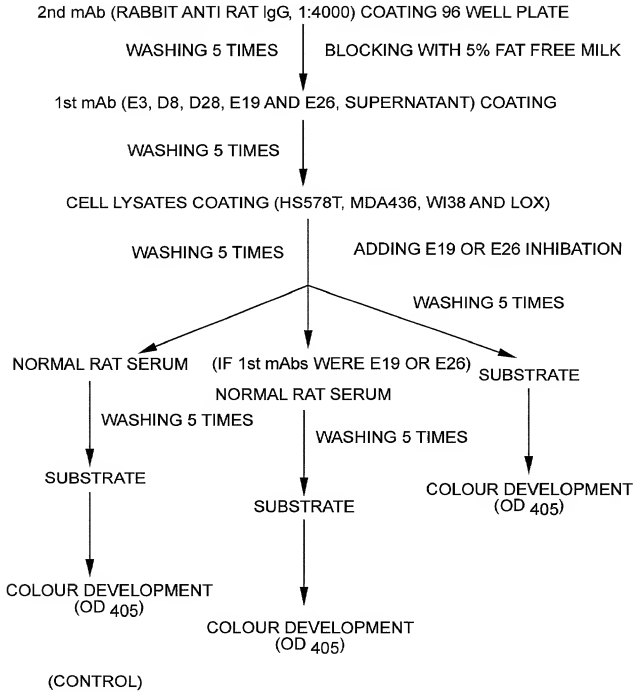


FIG. 6A

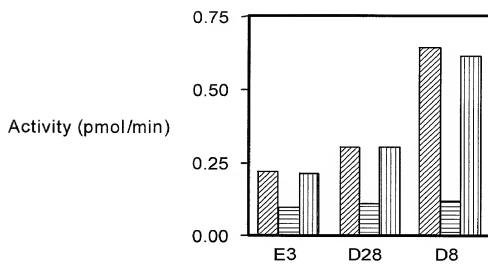


FIG. 6B

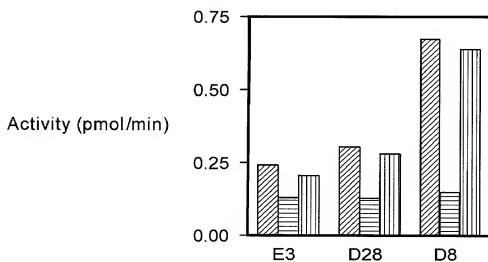


FIG. 6C

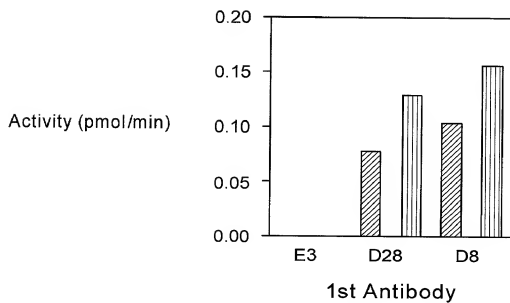


FIG. 6D

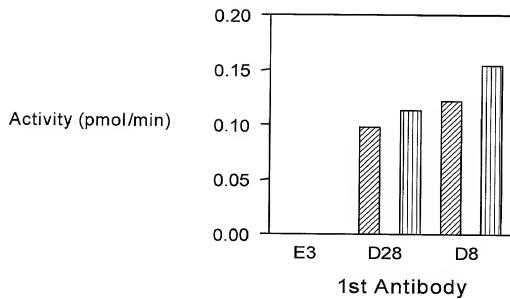


FIG. 7A

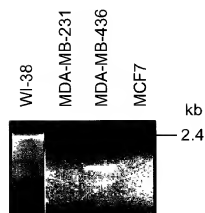


FIG. 7B

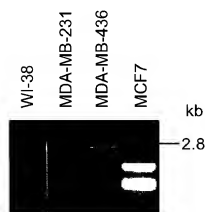


FIG. 7C

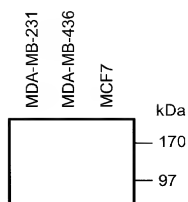


FIG. 7D

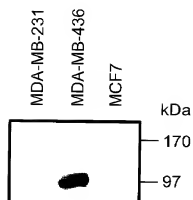


FIG. 7E

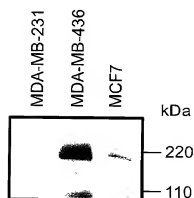


FIG. 7F

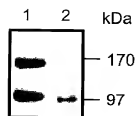


FIG. 8A

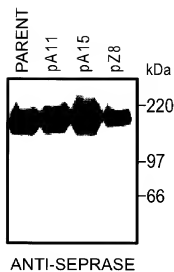


FIG. 8B

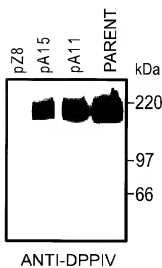


FIG. 8C

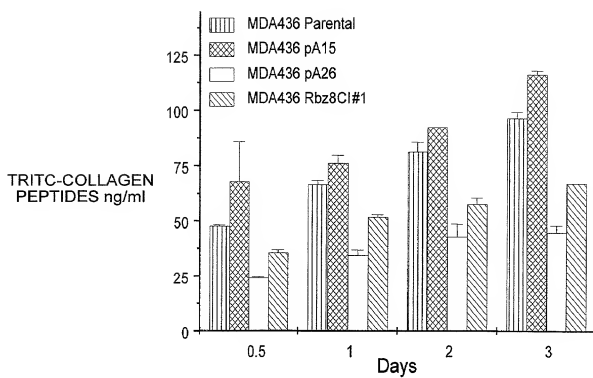


FIG. 9A

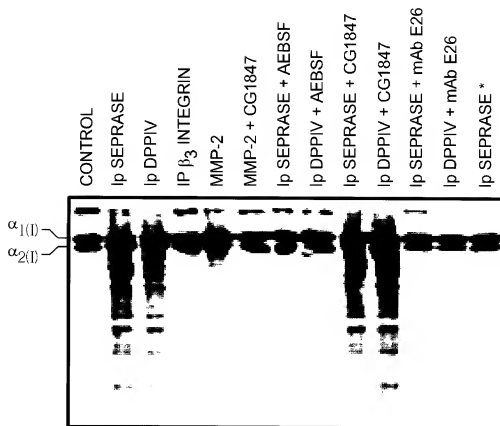


FIG. 9B

